

دراسة إمكانية تصنيع طابوق ناري دولومايتى- مغنىسي من بدائل عراقية

م.م.رضا حميد مجيد

مدرس مساعد / المعهد التقني كربلاء / هيئة التعليم التقني

المستخلص

الهدف من هذه الدراسة هو بحث إمكانية إنتاج طابوق ناري دولومايتى- مغنىسي من صخور الدولومايت وأوكسيد المغنىسيوم وذلك لتوفر المصادر الأولية لهذه الصناعة بكميات كبيرة. أجريت الفحوص الأولية لإيجاد المكونات الكيميائية والمعدنية للمواد الأولية (الدولومايت، السيرينتين وأوكسيد المغنىسيوم) لمعرفة مدى ملائمتها لانتاج طابوق ناري دولومايتى- مغنىسي . تم تحضير تسعه خلطات بنسب مختلفة من المواد الأولية وأحرقت عند (1550)°م بعد إجراء فحص المجهر الحراري عليها لانتاج نماذج الكلنكر. تم دراسة تفاعلات الأطوار والتغيرات المعدنية التي حدثت داخل النماذج المحروقة بواسطة جهاز فحص حبيبات الأشعة السينية.

أجريت عملية التكسير والطحن والتوزيع الحجمي الحبيبي للنماذج المحروقة ، تم تشكيل نماذج الطابوق الناري بطريقة الكبس شبه الجاف بضغط (1000 كغم/سم²) بعد إضافة 6% من المادة الرابطة (النفط الأسود) لتجنب إماهة النماذج ثم حرقت عند درجة حرارة (1550)°م.

أجريت الفحوصات العامة لنماذج الطابوق المنتجة. أثبتت الدراسة إمكانية استغلال المتوفر من المواد الأولية في القطر لانتاج هذا النوع من الحرارييات لتطبيقات أفران الحديد والصلب وأفران الاسمنت.

Abstract

The study aimed to investigate the ability to produce dolomite – magnesite refractory bricks from dolomite rock , Serpentine rock and magnesium oxide.

Preliminary test has been done to determine the chemical and mineralogical constitution of raw material (dolomite, serpentine and magnesium oxide)to find their suitability for production of dolomite – magnesite refractory bricks .Nine refractory body mixtures where prepared with different amounts of raw materials and fired at 1550 °C after testing the softening point to produce clinkers samples. Phase reactions and mineralogical changes that occurred in the fired mixtures were studied by mean of x-ray analysis. Crushing , grinding and grain size distribution were carried on prepared clinker. Heavy oil were used as a binder with the samples , Samples of dolomite– magnesite refractory bricks has been done by using semidry pressing with molding pressure of 1000 kg/cm² and firing at 1550°C .

The technological properties of sample briquettes were determined . results indicated that the raw materials could be used as possible as a source for the manufacture of dolomite – magnesite refractories mainly required for steel and cement industries in Iraq .

المقدمة

الدولومايت مادة قاعدية ذات درجة انصهار عالية، تعتبر حرارييات الدولومايت من الحرارييات المثالية لإمكانية استخدامها عند درجات حرارية عالية إضافة إلى رخص ثمنه مقارنة مع الحرارييات القاعدية الأخرى كالمنغنيسيت والكروماتيت، لكن ميله الشديد لامتصاص الرطوبة حال دون تطور الدراسات والبحوث المتعلقة بتقطيره خصوصاً مع وجود مصادر المواد الأولية للحرارييات البديلة في جنوب شرق آسيا مما أدى إلى انحسار استخدامه مرة أخرى أثناء الحرب العالمية الثانية بعد انخفاض معدل تجهيز الحرارييات نوع كروم - مغنىسيت والمغنىسيات. وقد لوحظ بأنها تستخدم بكفاءة عالية قد تصل إلى كفاءة المغنىسيات⁽¹⁾. الدولومايت ملح ثانوي متكون من كاربونات الكالسيوم والمغنىسيوم [Ca.Mg(CO₃)₂]. عندما يحرق الدولومايت لحد (1000)°م يحدث فقدان كبير في الوزن نتيجة تحرر ثاني أوكسيد الكاربون ويكون هذا فقدان مصحوباً بفقدان كبير .



أكثر استعمالات الدولومايت في تطبيقات أفران صناعة الحديد و الصلب و يعتبر من الحرارييات المثالية نظراً لخواصه الجيدة . لكن من مساوئه كونه يميل إلى تفاعلاته مع الرطوبة و ثاني أوكسيد الكاربون الموجдан في الجو مما يؤدي إلى تلفه نتيجة للإجهادات الداخلية بسبب الزيادة في الحجم اثر ذلك التفاعل.لذا تعددت البحوث والدراسات لغرض منع ذلك التفاعل والحصول على طابوق دولومايت مستقر أو شبه مستقر.

- اتجهت البحوث و الدراسات إلى إمكانية إنتاج طابوق ناري دولومايتني ثابت أو شبه ثابت ومنها (1,2,3,4,5) .
- 1- إنتاج طابوق ناري دولومايتني شبه ثابت عن طريق إضافة مواد عند تفاعಲها مع مكونات الدولومايت تكون معادن ذات درجات انصهار واطئه مكونه سائل أثناء الحرق يعطي حبيبات أوكسيد الكالسيوم المسبب الرئيسي لللاماهة . وبذلك تقلل من اتصال هذا الاوكسيد مع الرطوبة و ثاني أوكسيد الكاربون . كما استخدمت المخلفات النفطية كالقار والإسفلت كمادة رابطة للدولومايت تكون طبقة من الكاربون المتبقى بعد الحرق حول حبيبات أوكسيد الكالسيوم الحر و بذلك تقلل من اتصاله مع الجو المحيط (3,1,4,5).
- 2- إنتاج طابوق ناري دولومايتني ثابت ضد الرطوبة و ثاني أوكسيد الكاربون عن طريق إضافة مواد إلى الدولومايت كالسيرينتين والكاولينين تتفاعل مع أوكسيد الكالسيوم الحر وتكون مركيبات مستقرة (لا تتأثر بالرطوبة) لعدم وجود أوكسيد كالسيوم الحر لكن الخواص العامة لهذا الطابوق أقل مما في الطابوق الناري شبه الثابت.
- 3- إنتاج طابوق ناري دولومايتني- مغنيسي ثابت وشبه ثابت بإضافة اوكسيد المغنيسيوم لزيادة مقاومة الطابوق للخبث والتغير الحراري الفاجئ إضافة إلى رفع درجة التلين تحت الحمل.
- إن وجود كميات هائلة من معدن الدولومايت في مناطق مختلفة من العراق تعتبر مصدر موثوق لصناعة الطابوق الناري الدولومايتني - المغنيسي . كما يعتبر الدولومايت مصدر رئيسي لإنتاج أوكسيد المغنيسيوم. حيث لم تتوفر في العراق مشاريع كبيرة لاستهلاك تلك المادة منذ 1982 (4).

الجزء العلمي

تهيئة و تحضير المواد الأولية

المواد الأولية التي تم تهيئتها هي (100) كغم من حجر الدولومايت و (50) كغم من مادة السيرينتين (سيليكات المغنيسيوم المائية) و (10) كغم من اوكسيد المغنيسيوم. وهذه الكميات كافية لتصنيع كافة النماذج المطلوبة للبحث. تم إجراء عمليات التكسير والتقطير الحجمي لأحجار الدولومايت (size reduction) بمرحلتين بواسطة كسارة فكية وطاحونة كروية، بحيث تم الحصول على مسحوق ناعم عابر من منخل رقم (100)(قطر مكافئ 178 ميكرومتر). كما أنتج مسحوق ماده السيرينتين بنفس الأسلوب.

فحص المواد الأولية

التحليل الكيميائي

تم إجراء هذا التحليل في الجهاز المركزي للتقييس والسيطرة النوعية للمواد الأولية(الدولومايت، السيرينتين والمغنيسيات) لمعرفة نسبة المكونات الأساسية للمواد الأولية والشوائب المرافقة لها والجدول (1) يبين نتائج هذا التحليل.

التحليل المعدني

تم إجراء هذا التحليل في الجهاز المركزي للتقييس و السيطرة النوعية للمواد الأولية للتأكد من نوع المواد الأولية و الشوائب المرافقة لها وذلك باستخدام جهاز حيد الأشعة السينية (XRD) والشكل (1) يبين نتائج هذا التحليل.

فحص المجهر الحراري

لغرض التعرف على سلوك المواد الأولية أثناء التسخين وما يرافق ذلك من تغيرات التقلص والتمد والانصهار تم استعمال المجهر الحراري الموجود في مركز بحوث البناء لهذا الغرض وكما موضح بالشكل(3).

تحضير الكلنكر

تهيئة خلطات التشكيل

من خلال نتائج التحليل الكيميائي الذي أجري على المواد الأولية تم تحضير (9) تسعه خلطات من مزج نسب مختلفة من المواد الأولية المطحونة مسبقاً مع 0,5% من حامض البوريك⁽⁶⁾ لكل خلطه لمنع تقوت الطابوق نتيجة تكون مركيبات ذات معامل تمدد حجمي عالي . تم خلط المادة الأولية جيداً وامرارها على منخل رقم (100) لضمان تجانس الخليط.

تشكيل النماذج

بسبي طبيعة المواد الأولية غير اللدنة تم اختيار طريقة الكبس شبه الجاف لتشكيل النماذج . وباستخدام ضغط 1000 كغم/سم² عن طريق مكبس هيدروليكي تم تحضير نماذج اسطوانية ذات قطر وارتفاع متساوين (50) ملم⁽⁷⁾. تم بعدها تجفيف النماذج للتخلص من ماء التشكيل.

عملية الحرق

اعتماداً على نتائج فحص المجهر الحراري تم تحديد درجة الحرارة (1550)° م كدرجة حرارة لحرق نماذج البحث داخل فرن كهربائي . وتم التسخين بعدة مراحل لغاية (1550)° م. تركت النماذج عند هذه الدرجة ساعتين كزمن إنصاص، أطفأ الفرن وبقيت النماذج فيه حتى الوصول إلى درجة حرارة المختبر. ويمكن الاشارة الى ان المادة المنتجة من هذه المرحلة تعتبر كلنكر وتمثل المادة الأولية لصناعة هذا النوع من الطابوق.

فحوص ما بعد الحرق التحليل الكيميائي والمعدني

من أجل الكشف عن مختلف الأطوار المعدنية المتكونة في نماذج الكلنكر تمت الاستعانة بجهاز حبود الأشعة السينية(XRD) الموجود في مركز بحوث البناء تتبع تكون المعادن في الخلطات المختلفة . كما تم إجراء التحليل الكيميائي لمعرفة نسب المكونات الأساسية للخلطات باستخدام الطريقة الرطبة . والشكل (2) والجدول(2) يمثلان كل من نتائج التحليل المعدني والكيميائي لخلطات البحث. أما الجدول (3) فيمثل نتائج الحسابات النظرية لخلطات البحث⁽²⁾.

تهيئة الكلنكر لتشكيل النماذج المختبرية. عملية الطحن

تم إجراء عملية الطحن لنماذج الكلنكر بعدة مراحل بحيث يمر جميع ناتج الطحن خلال منخل رقم (65).

التوزيع الحجمي للنماذج

تم استخدام طريقة الرص(packing)⁽⁸⁾ لتحديد أفضل توزيع حجمي للحبوب وبالتالي الحصول على أفضل كثافة مفككة(Loose bulk density) والتي تعتمد على مزج نوعين من الدقائق المختلفة الحجم. حيث تم تصنيف مسحوق الكلنكر إلى جزئين، الدقائق الخشنة تم عبورها من منخل رقم (65) والناعمة عبر منخل رقم (100) شكل(4).

تحضير نماذج الطابوق النارى عملية التشكيل

بعد إضافة 6% من النفط الأسود على مسحوق الكلنكر كمادة رابطة و خلطه جيداً بعد تسخينها إلى درجة حرارة 150 °م لضمان توزيع متوازن للمادة الرابطة خلال دقائق الكلنكر تم تشكيل نماذج قياسية بقطر وطول متساوين (50)مم. تحت ضغط تشكيل مقداره (1000) كغم/سم².

عملية الحرق

تم اختيار درجة حرارة (1550)°م لحرق النماذج المشكلة و تم تسخين بثلاث مراحل ذات معدلات تسخين مختلفة. تركت النماذج عند هذه الدرجة ساعتين كزمن إنضاج، أطفأ الفرن وبقيت النماذج فيه حتى الوصول إلى درجة حرارة المختبر.

تحديد الخواص العامة للنماذج الكثافة الظاهرية و المسامية الظاهرية

تم أتباع طريقة ارخميدس⁽⁹⁾ لإيجاد هاتين الخاصيتين وقد استخدم الكيروسين بدل الماء لتجنب اماهة النماذج .

$$\rho = \frac{W_d}{W_s - W_n} \quad (1)$$

$$P = \frac{W_s - W_d}{W_s - W_n} \quad (2)$$

ρ = الكثافة الظاهرية ، W_s = وزن النموذج وهو مشبع بالكريوسين
 P = المسامية الظاهرية ، W_n = وزن النموذج وهو مغمور بالكريوسين ، W_d = وزن النموذج وهو جاف

التغير الحجمي أثناء الحرق

تم حساب هذه الخاصية بعد تعريض النماذج إلى درجة حرارة (1550)°م ولمدة ساعتين حسب المواصفة البريطانية⁽⁹⁾ وفق المعادلة التالية:-

$$\Delta V = \frac{V_{bf} - V_{af}}{V_{af}} * 100\% \quad (3)$$

ΔV = التغير الحجمي ، V_{bf} = حجم النموذج قبل الحرق ، V_{af} = حجم النموذج بعد الحرق

مقاومة الانضغاط Compressive Strength

تم إجراء هذا الفحص حسب المواصفة (C133-81)⁽¹⁰⁾. وتم حساب مقاومة الانضغاط من العلاقة التالية :

$$COMP. ST = \frac{F}{A} (\frac{N}{m^2}) \quad (4)$$

F = مقدار القوة المسلطة عند أول توقف (نيوتن)
 A = مساحة النموذج (م²)
 $Comp. ST$ = مقاومة الانضغاط ،

مقاومة التغير الحراري المفاجئ thermal shock resistance

تم إجراء هذا الفحص حسب المعاصفة الألمانية^(4,3,1) (Din 51053 Blatt 1) ، وتلخص الفحص بتسخين نماذج الطابوق الى (1000) °م يتبعها تبريد مفاجئ بتيار من الهواء، كررت الدورة هذه حتى تهشم النموذج أو ظهرت عليه آثار التهشم كالشققات. استخدم الهواء بدل الماء كوسط تبريد للميل الشديد لهذا النوع من الحراريات للتفاعل مع الماء.

مقاومة التلين softening resistance

تم إتباع طريقة زيك⁽¹¹⁾ لقياس هذه الخاصية. وتلخص بوضع نماذج بشكل مخروط زيك وتنبيتها داخل فرن بعد إحاطتها بمخاريط زيك ذات درجات تلين تتراوح بين (1490-1600) °م ، ثم تسخين الفرن الى درجة حرارة 1600 °م . ثم إطفاء الفرن ومقارنة التغيرات الحاصلة في نماذج زيك القياسية.

مناقشة النتائج

المواد الأولية

التحليل الكيميائي

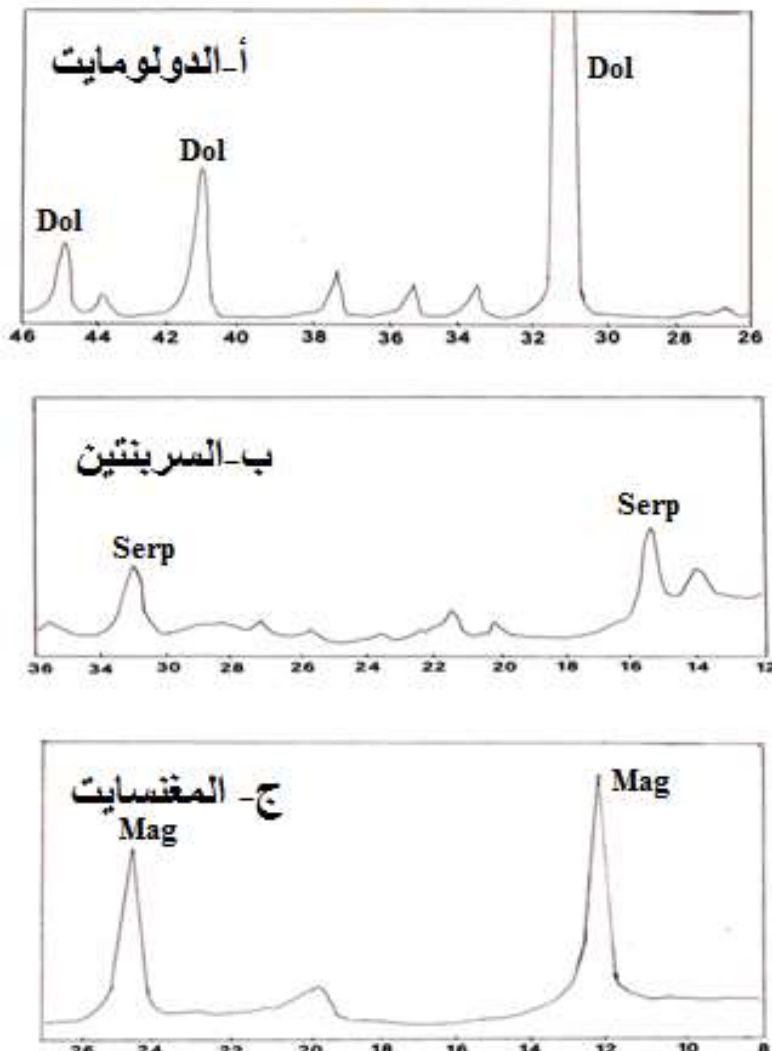
تعطي المكونات الكيميائية للمواد الأولية مؤشراً هاماً للمادة المصنعة. فقد أظهرت نتائج التحليل الكيميائي للدولومايت المستخدم كمادة أولية في تصنيع الطابوق الناري الدولومايت المنغنيسي كما مبين في الجدول(1) وجود ارتفاع بسيط في نسبة اوكسيد الكالسيوم وانخفاض في نسبة اوكسيد المغنسيوم. وأظهر الجدول(1) احتواء السربنتين على نسبة من اوكسيد الحديد الذي يعتبر من الأطوار المثبتة للدولومايت نتيجة تفاعله مع اوكسيد الكالسيوم وتكون $\{2CaO.Fe_2O_3(C_2F)\}$ ذي درجة التلين الواطنة، والذي يعمل على خفض درجة الحرارة اللازمة للتلبيد. كما يحتوي السربنتين على نسبة عالية من اوكسيد السليكون الذي يعتبر من الاكاسيد المثبتة نتيجة تفاعله مع $\{CaO\}$ لتكوين كل من $\{2CaO.SiO(C_2S)\}$ و $\{3CaO.SiO(C_3S)\}$ يؤدي إلى خفض نسبة اوكسيد الكالسيوم الحر في المنتج النهائي. كما يبين الجدول(1) انخفاض نسبة الشوائب في المغنسايت.

الجدول (1) المكونات الكيميائية للمواد الأولية

Chemical Constituent	Raw materials		
	Dolomite	Serpentine	Magnsite
CaO%	30.69	0.3	1.21
MgO%	20.77	35.9	48.98
SiO ₂ %	----	38.65	0.41
A12O3%	----	1.62	----
Fe ₂ O ₃ %	----	8.75	----
L.O.I%	46.6	13.0	48.41

التحليل المعدني

يتضح من الشكل (1) الذي يبين نتائج التحليل المعدني بواسطة حيود الأشعة السينية (XRD) أن معدن الدولومايت نقى جداً . كما اظهر الشكل (1) وجود السربنتين بشكل معدن مختلفة من سليكات المغنسيوم المائية مع ظهور مركبات لعنصر الحديد . ويوضح الشكل أيضاً ظهور معدن المغنسايت بشكل اوكسيد المغنسيوم متفاعلاً مع الماء و ثانوي اوكسيد الكاربون.



شكل (١) نتائج التحليل المعدنى للمواد الأولية

خواص ما بعد الحرق
المكونات الكيميائية

يتضح من نتائج الحسابات النظرية للتحليل الكيميائي كما في الجدول (2) أن جميع الخلطات عبارة عن مزج نسب مختلفة من الدولومايت والسربيتين والمغنسايت لغرض الحصول على طابوق ناري دولومايت- مغنيسي. ففي الخلطات الثلاثة الأولى (3,2,1) نلاحظ إضافة نسبة ثابتة من المغنسايت 15% بحيث أعطت نسبة أوكسيد مغنيسيوم حوالي 47% في الخلطات النهائية أما السيرينتين فقد أضيف بنسبة (30,25,20) للخلطات (3,2,1) على الترتيب بحيث أعطى نسب مختلفة من الأكسيد لكل خلطة، كما اختلفت النسبة المولية لـ CaO/SiO_2 حسب نسبة الإضافة. أن الغرض من هذه العملية الحصول على أطوار مختلفة حسب نسبة CaO/SiO_2 . وبالتالي، دراسة تأثير هذه الأطوار على الطابوق النارى المنتج.

اما المجموعة الثانية وهي الخلطات (4,5,6) فكانت تتراوح في نسبة المغنسايت المضاف، حيث كانت نسبة المجموعات (3,2,1) سوية، بينما كانت المجموعات (9,8,7) مختلفة، حيث كان الاختلاف الوحيد بين المجموعتين الأولى والثانية هو نسبة المغنسايت المضاف التي كانت 45%.

الجدول (2) المكونات الكيميائية لخلطات الكلنكر

Mix. No.	Dolomite	Serp.	Magns.	SiO ₂	Fe ₂ O ₃	AL ₂ O ₃	CaO	MgO	C/S
1	65	20	15	15.25	3.16	0.56	35.10	48.74	2.46
2	60	25	15	17.48	3.70	0.68	30.74	47.40	1.90
3	55	30	15	20.03	4.31	0.79	27.50	47.37	1.47
4	55	15	30	11.81	2.41	0.42	30.25	55.11	2.7
5	50	20	30	14.64	3.08	0.54	26.84	54.9	1.9
6	45	25	30	17.32	3.37	0.68	23.6	54.68	1.5
7	45	13	45	10.38	2.15	0.37	24.0	63.10	2.47
8	40	15	45	11.58	2.43	0.42	22.65	62.91	2.07
9	35	20	45	14.46	3.03	0.55	19.43	62.53	1.44

$$C = CaO , \quad S = SiO_2 , \quad F = Fe_2O_3 , \quad A = AL_2O_3 , \quad M = MgO$$

المكونات المعدنية

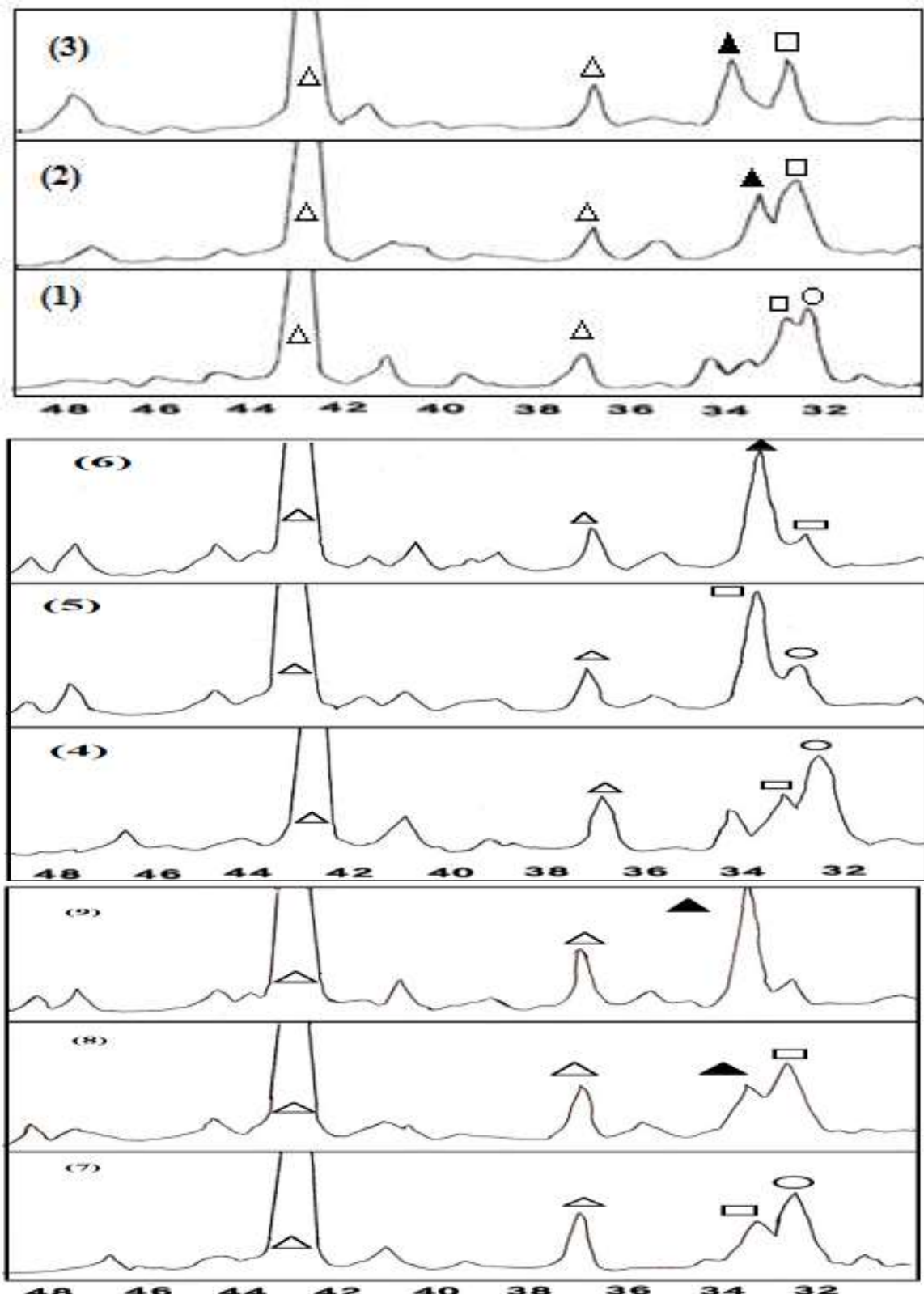
بما أن وضعية التوازن يسهل الحصول عليها في الحراريّات القاعديّة لذا يمكن التنبؤ بالمركبات المعدنيّة الناتجة من الخلطات التسعة على أساس الحسابات المعتمدة من طريقة (j-wight)⁽¹²⁾ حيث يوضح الجدول (3) هذه الأطوار .

- في النموذج رقم (1) كانت النسبة المولية لـ (C/S) أي أكبر من (2). لذا فإن أوكسيد الكالسيوم يتفاعل مع كل (SiO₂) ليعطي (CaO) والمتبقي من (C₂S) سوف يتفاعل مع كل من (AL₂O₃ , Fe₂O₃) ليعطي (C₄AF). أما المتبقي من (CaO) فسوف يتفاعل مع (Fe₂O₃) ليعطي (C₂F). وما تبقى من (CaO) سوف يتفاعل مع C₂S ليعطي C₃S. أما MgO فيبقى بشكل حر. ومن الجدير بالذكر إن الخلطات (7,4) أعطت نفس المركبات في الخلطة (1).

- في النموذج رقم (2) كانت النسبة المولية لـ (C/S) أي قريبة من الرقم (2) لذا فإن (CaO) سوف يتفاعل مع (SiO₂) ليعطي C₂S. والمتبقي من (SiO₂) سوف يتفاعل مع كل من (C₂S و MgO) ليعطي (C₃MS₂). أما المتبقي من (MgO) سوف يتفاعل مع كل من (Fe₂O₃ و AL₂O₃) ليعطي كل من (MA و MF) على الترتيب والخلطات (8,5) تتشابه مع الخلطة (2) في المركبات الناتجة تقريباً لأن النسبة المولية لهذه الخلطات متقاربة .

- في النموذج رقم (3) كانت النسبة المولية لـ (C/S) أي أقل من (2) لذا فإن كل من (CaO) يتتفاعل مع (SiO₂) ليعطي (C₂S) ، والمتبقي من (SiO₂) سوف يتفاعل مع كل من (C₂S و MgO) ليعطي (C₃MS₂)، والمتبقي من (SiO₂) سوف يتفاعل مع (MgO) ليعطي (CMS) ، أما المتبقي من (MgO) فيتفاعل مع (Fe₂O₃ و AL₂O₃) ليعطي (MA و MF) على الترتيب. أما الخلطات (9,6) فقد أعطت نفس المركبات الموجودة في الخلطة (3) وذلك لتشابه النسب المولية لـ (C/S) في هذه الخلطات .

أما الشكل (2) فيبين نتائج التحليل المعدني بواسطة حيد الأشعة السينية(XRD) للخلطات التسعة المحروفة . فقد أظهرت جميع الخلطات وجود (MgO,C₂S,C₃S,CMS). المعدنين (C₃MS₂,CMS) ظهران في الخلطات (9,6,3) مع المعدن (C₂S,C₃S) ، لذا فإن التحليل المعدني يؤكّد صحة الحسابات النظرية وتطابقها مع التحليل الكيميائي .



شكل (2) نتائج التحليل المعدني لنماذج الكلنكر

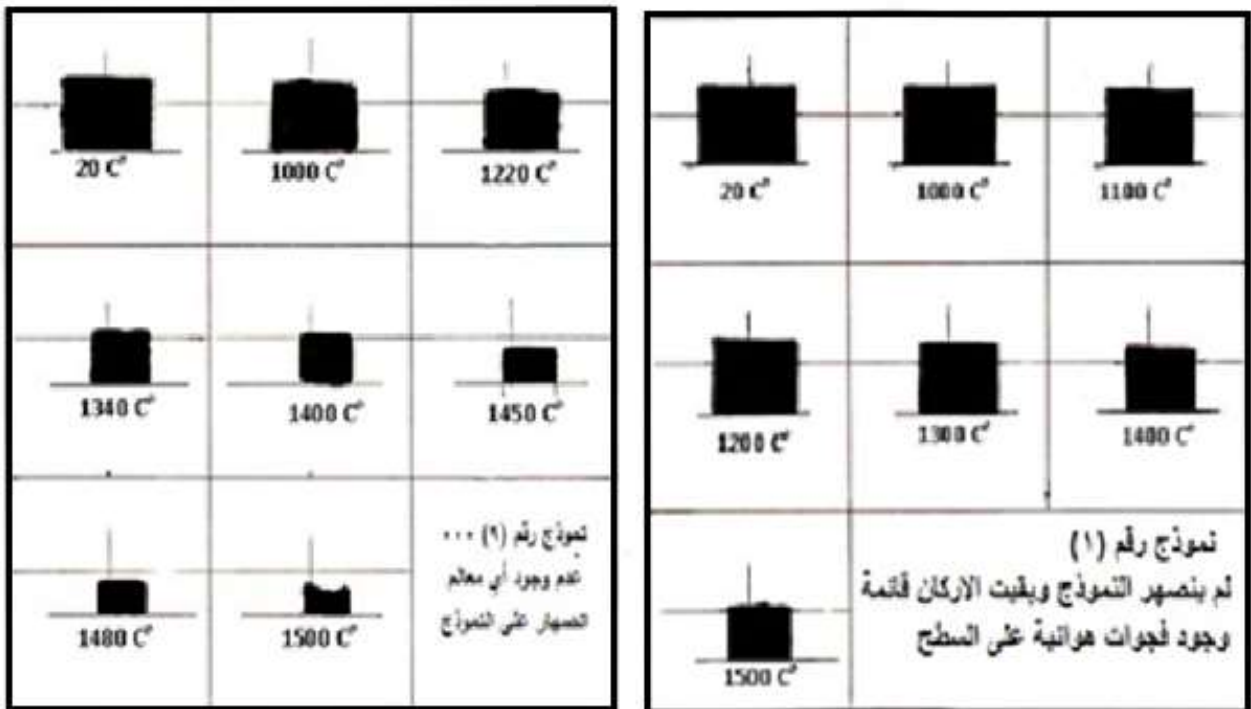
$C_3S = O$, $MgO = \Delta$, $C_2S = \square$, $C_3MS_2 = \blacktriangle$

الجدول (3) المكونات المعدنية لخلطات الكلنكر

Mix No.	C/S	MgO	C ₃ S	C ₂ S	C ₄ AF	C ₂ F	MF	MA	C ₃ MS ₂	CMS
1	2.46	48.74	13.93	33.24	2.43	5.44	----	----	----	----
2	1.90	44.82	----	38.4	----	----	4.6	1.0	11.2	----
3	1.47	38.9	----	----	----	----	5.4	1.14	48.0	2.8
4	2.7	55.11	24.43	15.5	1.94	2.99	----	----	----	----
5	1.9	54.84	----	42.03	----	----	3.4	0.43	----	----
6	1.5	47.24	----	----	----	----	4.6	1.0	43.72	3.29
7	2.47	63.1	11.87	20.84	1.94	2.45	----	----	----	----
8	2.07	62.32	----	33.24	1.92	----	3.0	----	----	----
9	1.44	56.07	----	----	----	----	3.8	0.71	34.8	4.69

فحص المجهر الحراري

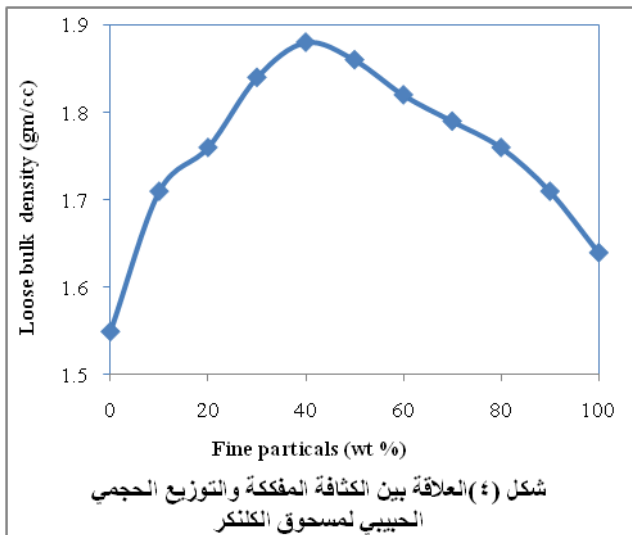
يبين الشكل (3) نتائج فحص المجهر الحراري لنماذج الكلنكر (٩،١) بدرجة حرارة (١٥٠٠)° م . حيث يبين عدم انصهار النموذجين عند هذه الدرجة الحرارية . كما يبين الشكل أن مقدار التقلص في النموذج (٩) أكثر من النموذج (١) . وذلك لأن النموذج (٩) يحتوي على مركبات ذات درجات انصهار واطئة التي تعمل على زيادة نسبة التقلص بسبب تكوينها للطور السائل بكمية عالية . بصورة عامة يؤكّد هذا النماذج تحمل درجة حرارة (١٥٠٠)° م دون حدوث انصهار .



شكل (٣) فحص المجهر الحراري لنماذج الكلنكر (٩،١)

التوزيع الحجمي الحبيبي

يبين الشكل (4) العلاقة بين الكثافة المفكرة لمسحوق الكلنكر مع التوزيع الحجمي الحبيبي له . فقد أظهر الشكل أن الكثافة المفكرة تزداد بزيادة التدرج الحبيبي لمسحوق الكلنker . كما إن أعلى كثافة يمكن الحصول عليها كانت عند خلط 60% من الجزء الخشن و 40% من الجزء الناعم فعند هذه النسبة تكون نسبة الفراغات أقل ما يمكن^(٨) . وبالتالي يمكن استخدامها في تهيئة خلطات الطابوق الناري لعرض الحصول على أفضل كثافة في الطابوق المنتج .



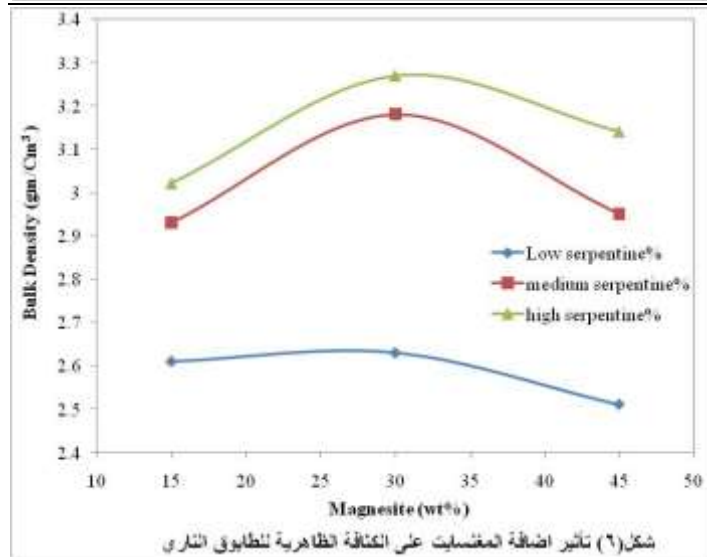
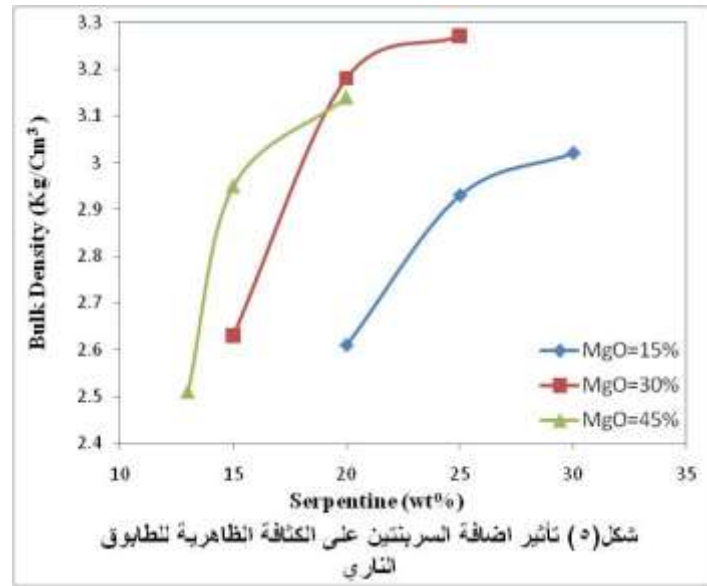
خواص الطابوق الناري الكثافة الظاهرية

يبين الجدول (3) نتائج الكثافة الظاهرية لنماذج الطابوق الناري الدولوميتي - المغنيسي المحروقة بدرجة (1500) °م. كما يبين الشكل (5) تأثير إضافة السربنتين على الكثافة الظاهرية لهذه النماذج. فبزيادة نسبة السربنتين تزداد الكثافة بصورة واضحة لأن إضافة السربنتين تؤدي إلى تكوين مركبات ذات وزن نوعي عالي مثل (C_2S) إضافة إلى تكوين مركبات ذات درجة انصهار واطئة تؤدي إلى زيادة الطور السائل ومن ثم زيادة الكثافة لأن الطور السائل يتغلل داخل المسامات مؤدياً إلى تقليل حجم الفراغات الكلي وبالتالي زيادة كثافته.

كما يبين الشكل (6) تأثير إضافة أوكسيد المغنيسيوم على الكثافة الظاهرية للطابوق المنتج . فعند إضافة 30% من MgO نلاحظ ارتفاع الكثافة الظاهرية أكثر من نسبة الإضافة البالغة 15% حيث يعمل هذا الأوكسيد كمادة صهورة عند هذه النسبة 30% وبزيادة إضافة الأوكسيد 45% نلاحظ انخفاض الكثافة مرة أخرى.

جدول (3) الخواص العامة لنماذج البحث

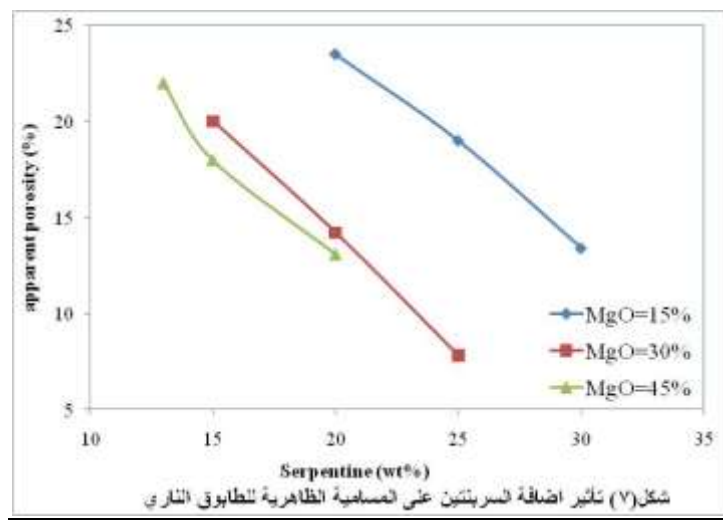
Mix. No.	Bulk Density gm/Cm ³	Apparent porosity%	Comp. strength Kg/Cm ²	Thermal shock resist.(cycle)	Softening point °C	Vol. change After firing %
1	2.61	23.5	795	>30	>1650	0
2	2.93	19.0	1288	>30	>1650	-0.2
3	3.02	13.4	1581	27	>1650	-0.2
4	2.63	20.0	1208	>30	>1650	-0.2
5	3.18	14.2	1467	19	1550	-0.6
6	3.27	7.8	2180	19	1550	-0.7
7	2.51	22.0	1106	>30	>1650	-0.1
8	2.95	18.0	1346	26	>1650	-0.1
9	3.14	13.1	1732	23	1550	-0.4



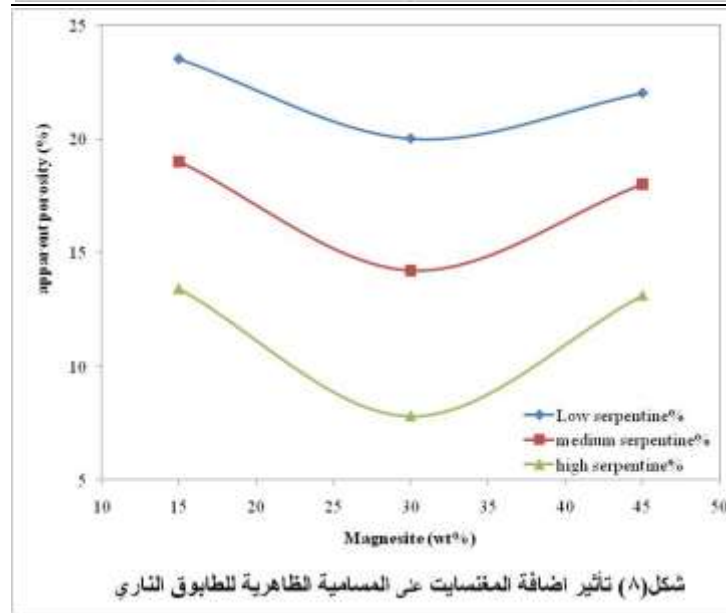
المسامية الظاهرية

يبين الشكل (7) تأثير إضافة السربرتين على خفض المسامية الظاهرية لنماذج الطابوق المنتج . فعند النسب الواطئة كانت المسامية عالية لأنخفاض نسبة الأكاسيد الصهورة ، وبزيادة نسبة السربرتين تزداد هذه المركبات و بالتالي زيادة الطور السائل الذي يعمل على خفض المسامية نتيجة لتغلغله داخل المسامات .

كما يبين الشكل (8) تأثير إضافة المغنسيا على المسامية الظاهرية حيث نلاحظ انخفاض المسامية لنماذج الطابوق المضاف إليها 30 % مغنسياً أي الحاوية على نسبة 55% تقريباً من أوكسيد المغنسيوم ، لأن هذا الاوكسيد يعمل كمادة صهورة عند هذه النسبة . كما يوضح الجدول (3) هذه الحالة .



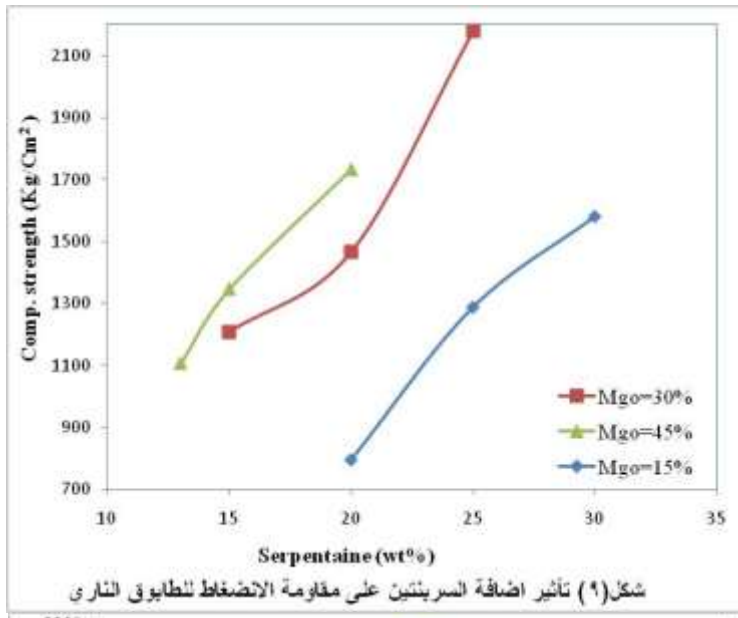
شكل(٧) تأثير إضافة السرپتين على المسامية الظاهرية للطابوق الناري



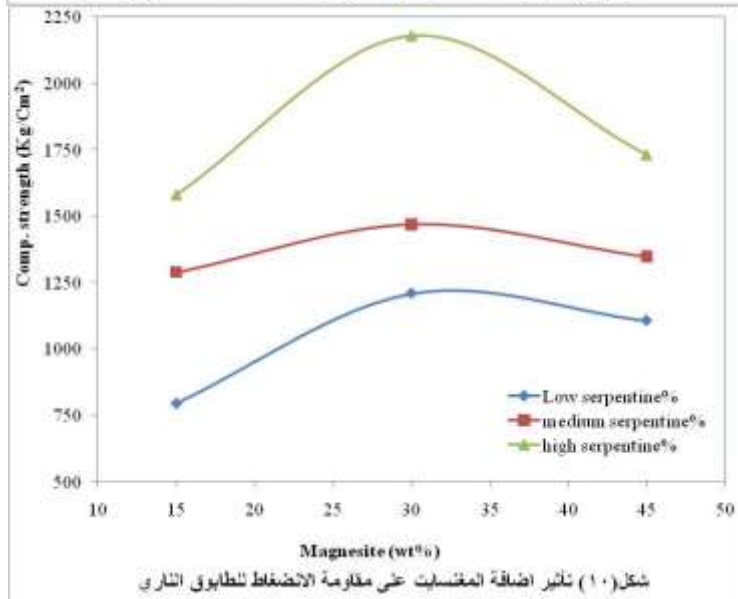
شكل(٨) تأثير إضافة المغنسايت على المسامية الظاهرية للطابوق الناري

مقاومة الانضغاط

يوضح الشكل (9) تأثير إضافة السرپتين على زيادة مقاومة الانضغاط لنماذج الطابوق الناري المنتج لأن زيادة إضافة السرپتين تؤدي إلى زيادة الكثافة وخفض المسامية . كما يبين الشكل (3) تأثير إضافة المغنسايت على مقاومة الانضغاط .



شكل (٤) تأثير اضافة السرپتين على مقاومة الانضغاط لطابوق النارى



شكل (١٠) تأثير اضافة المغصبات على مقاومة الانضغاط لطابوق النارى

مقاومة التغير الحراري المفاجئ

يبين الجدول (3) نتائج مقاومة الصدمة الحرارية لنموذج الطابوق المنتج. فقد أظهرت الخلطات (1,2,4,7) مقاومة عالية للتغير الحراري المفاجئ (أكثر من 30 دورة) . إن السبب الرئيسي لهذه الظاهرة هو ارتفاع المسامية لهذه النماذج واحتواها على C_2S الذي يتميز بمقاومته العالية للتغير الحراري المفاجئ مقارنة بـ C_3S . كما يعود انخفاض مقاومة التغير الحراري المفاجئ لبقية النماذج لأنخفاض مساميتها. كما ساهمت زيادة نسبة اوكسيد المغنيسيوم في رفع مقاومة ضد التغير الحراري المفاجئ.

التغير الحجمي

يوضح الجدول (3) مقدار التغير الحجمي بعد الحرق . فقد أظهرت الخلطات نتائج متقاربة في التقلص أثناء الحرق . فقد أظهرت النماذج انخفاض بسيط في الحجم عدا الخلطات (5,6,9) . إن هذه الاستقرارية في الحجم بعد الحرق تؤكّد استقرار الفياغلات التي حدثت أثناء الحرق .

نقطة التلين

أظهرت نتائج فحص نقطة التلين لنماذج الطابوق الحراري المحروق عند $(1500)^\circ\text{C}$ ثباتية معظم النماذج للانصهار وعدم حدوث أي تشوه أو ميلان سوى النماذج (5,6,9) ، فقد عانت هذه النماذج من التلبيد الشديد فقد كانت سطوحها ملساء إضافة إلى عدم وجود حافات في جوانبها ، إن هذه الملاحظات دليل لاقترابها من نقطة التلين . أما بقية النماذج فقد بقيت بشكلاً الذي وضعت فيه.

أما نماذج زيكر القياسية (نماذج المقارنة) المرقمة (23,26,28,29,30,31,32) فقد تأثرت بشكل أو بآخر بهذه الدرجة الحرارية ، فقد عانى النموذجين (23,26) من تشوه واضح واحتقاء حافات جوانبها ، أما بقية نماذج المقارنة فقد أصبحت جدرانها ملساء بشكل واضح نتيجة الحصول تلبيداً فيها .
إن نتائج نقطة التلين لنموذج البحث (1,3,4,7,8) تؤكد أن درجة تلينها أكثر من 1650 م.

الاستنتاجات

- 1- من نتائج التحليل الكيميائي للمواد الأولية يمكن استنتاج الآتي
أ- افتقد الدولومايت للاكاسيد المثبتة (SiO_2 , Fe_2O_3 , Al_2O_3) يؤكّد وجوب إضافة مواد مثبتة بكمية عالية نسبياً لغرض الحصول على ناتج خالي من أوكسيد الكالسيوم الحر .
ب- احتواء السربنتين على كمية جيدة من الاكاسيد المثبتة يؤكّد أمكانية إضافته للدولومايت لغرض الحصول على ناتج خالي من أوكسيد الكالسيوم الحر .
ج- ارتفاع نقاوة المغنسايت واحتواه على نسبة 50% من المواد المفقودة أثناء الحرق ($\text{CO}_2, \text{H}_2\text{O}$) يؤكّد ضرورة إضافة ضعف الكمية لغرض الحصول على نسبة المطلوبة .
- 2- أما نتائج الكلنكر فقد دفعت إلى الاستنتاجات التالية
أ- أظهرت نتائج التحليل المعدني بواسطة حيود أشعة السينية (XRD) لخلطات الكلنكر وجود تشابه مع نتائج التحليل المعدني المحسوبة نظرياً من نتائج التحليل الكيميائي للمواد الأولية ، مما يدل على أن التفاعلات الكيميائية قد وصلت إلى حالة التوازن عند درجة (1500) م.
ب- إن أفضل توزيع حجمي لمسحوق الكلنكر والذي يعطي أفضل كثافة مفككه لهذا المسحوق كان عند خلط 60% وزنا من الحبيبات الخشنة (1-0.2) ملم و 40% من الحبيبات الناعمة .
3- أما فيما يتعلق بنتائج الطابوق الناري الدولومايتى - المغنيسي :-
أ- إن زيادة إضافة السربنتين مع بقاء نسبة (MgO) ثابت تؤدي إلى زيادة كل من الكثافة ومقاومة الانضغاط و القلص الحجمي و خفض المسامية بسبب تكون أطوار ذات درجات انصهار واطنة .
ب- إن زيادة إضافة (MgO) لحد 55% تؤدي إلى زيادة كل من الكثافة و مقاومة الانضغاط ومقدار التقلص الحجمي ، أما إذا ازدادت نسبة (MgO) أكثر من 55% فان الخواص أعلاه تنخفض ، لأن (MgO) عند النسبة 55% يعمل كمادة مصهرة للدولومايت ويعمل كمادة رافعة لدرجة الانصهار اذا ازدادت نسبته أكثر من 55%.
ج- ارتفاع مقاومة التغير الحراري المفاجئ و نقطة التلين لجميع النماذج سوى النماذج (5,6,9)، فقد أظهرت انخفاض واضح في هاتين الخاصيتين بسبب تأثير المركبات ذات درجات الانصهار الواطنة إضافة لتأثير المغنسايت .
د- يمكن توقع ارتفاع مقاومة جميع النماذج للخت وتلين تحت الإجهاد (refractoriness under load) بسبب ارتفاع نسبة المغنيسي في النماذج .

التوصيات

يوصى أن تتناول الموضوعات التالية قدرًا من الاهتمام

- 1- دراسة تأثير أوكسيد المغنيسيوم المحروق بدرجات حرارية عالية على الطابوق الناري الدولومايتى - المغنيسي .
- 2- إجراء دراسة بحيث تشمل نسب واسعة لاوكسيد المغنيسيوم .
- 3- إجراء تجارب معملية بحيث تؤخذ نتائج الدراسة بعين الاعتبار .

المصادر

1. G.B . Rothenbry, "Refractories materials" , 1st ed , park Ridge . New jersey , USA , 1976 , pp. (1-2.81.87) .
2. Rait . J . & Green . A.T . "A study of reaction between dolomite & various materials" , Iron & steel inst . , Report No. 28 .
3. G.Lamey & S.F. abdul – rahman, "The suitability of Iraqi dolomite for the manufactore of stable and semi-stable refractory bricks" R.P 60/79, B.R.C , S.R.F , 1979.
4. مجید . رضا حميد، "تقييم حجر الدولوميت العراقي لمعرفة مدى صلاحيته لصناعة الحراريات" ، رسالة ماجستير مقدمة الى قسم الهندسة الكيميائية/جامعة التكنولوجية، 1989.
5. L.G. garris & G. gad , "refractory aspects of some Dolomitic magnesite rocks", J. appl. Chem., 1970, vol. 20 , pp.(234-239)
6. M . I . Taylor , W.F ford & J . white , "The mechanism of boric oxide effect in magnesite refractories" , Tran . Brit . ceram . soc ., vol 68 . no 4 , 1969 , p 173 .
7. ASTM standard , part 17 , 1982 .
8. Anil N . patankar and G , mandal , "The packing of some non spherical solid particle" , Trans , brit , cer , soc . , vol . 79 , 1980 , p 59 .
9. British standard method for testing refractory materials , B.S, 1902, part B , 1967.
10. ASTM standard , vol . 15.01, c133-81 , 1989 .
11. Iso recommendation / international organization for standardization , "determination of pyrometric cone equivalent (refractoriness) " 1st ed . , 1966 .
12. M . A Serry and M . S . Attia . "Thermal equilibrium and properties of some MgO – dolomite refractories" , Trans , brit , cer , soc . vol . 84 , 1985 . p 142 .